

EA3)

## 덤프 소각기에서 $\text{CCl}_4/\text{C}_3\text{H}_8$ 분해특성에 관한 연구

### A study of $\text{CCl}_4/\text{C}_3\text{H}_8$ destruction characteristics in a dump combustor.

전영남\*, 채종성, 송형운, 이세행\*\*

\*조선대학교 환경공학부, 조선대학교 환경공학부 대학원

\*\*광주광역시 보건환경연구원

#### 1. 서 론

산업의 발달로 인하여 유해폐기물의 양과 종류가 날로 증가하고 있다. 특히 본 연구에서 사용한  $\text{CCl}_4$ 는 염화탄화수소(chlorinated hydrocarbons, CHCs)(Elizabeth 와 Catherine) 계통의 대표적인 유해폐기물이며 플라스틱제조업, 제초제와 살충제를 제조하는 농약제조업, 유기용제 제조업 등에서 다량 배출되며 해마다 발생량이 증가하는 추세이다. 최근까지 대부분의 유해폐기물을 처리가격의 저렴성과 기술적으로 어려움이 적은 매립 및 밀봉등의 방법과 물리화학적 방법으로 처리하였으나 앞으로는 소각에 의한 처리방법이 증가되리라 예상된다. 소각은 전체 폐기물의 부피를 감소시키고, 많은 양의 에너지를 회수할 수 있을 뿐만 아니라 특히 유해폐기물의 독성을 제거할 수 있어서 여러 종류의 유독성 폐기물을 처리하기 위한 매력적인 방법이다.

기존의  $\text{CH}_4$ 를 보조연료로 사용한 연구와는 달리 본 연구에서는  $\text{C}_3\text{H}_8$ 을 보조연료로 사용하여 유해폐기물을 소각시키기 위하여  $\text{C}_3\text{H}_8/\text{CH}_4$  분해에 관한 새로운 수치해석 프로그램을 개발하여 소각기 설계 및 최적운전 조건을 밝혀내고 또한 실제 실험을 통하여 개발된 프로그램의 타당성을 평가하고자 한다.

#### 2. 수치해석

일반적인 2차 편미분 지배방정식의 해를 얻기 위해서 검사체적에 기초한 유한차분법(control volume based finite difference method)과 power law scheme을 이용하여 이산화 방정식을 유도하였다. 본 논문에서 사용한 수치해석은 Patankar(1980)방법을 사용하였으며 차분화된 운동방정식의 셀-압력의 decoupling을 없애기 위해 엇갈린 격자망(staggered grid)을 사용하였다. 본 연구에서는 수치해석 시간을 빠르게 하기 위하여 y축대칭으로 소각기를 C-C'로 절단하여 수치해석하였으며 사용한 격자의 갯수는  $64 \times 14 \times 39$ 를 사용하였다.(그림1참조)

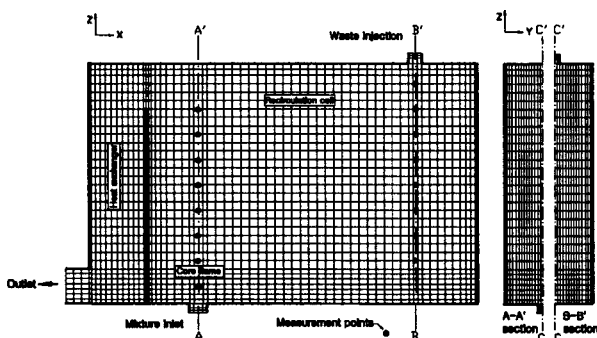


Fig.1. Computational grid and measurement point.

#### 3. 실험장치

본 연구의 실험장치는 소각기 본체, 유량조절부, 유해폐기물인  $\text{CCl}_4$  기화부로 이루어져 있다. 소각기 본체는 스테인레스로 제작하였으며 유리섬유로 단열하였다. 소각기 내부의 온도와 농도를 측정하기 위

하여 mixture가 유입되는 지점과 surrogate가 유입되는 지점에 2cm 간격으로 구멍을 뚫어 시료를 샘플링하였다.  $\text{CCl}_4$  기화부는 액체 시료 저장조 상단부에 질소봄배를 연결하여 저장조안의 시료에 일정한 압력을 공급한다. 저장조 하단부에는 정밀하게 유량을 조절할 수 있는 metering valve가 장착되어 액상의  $\text{CCl}_4$ 를 일정 유량으로 조절한다. 일정 유량으로 조절된  $\text{CCl}_4$ 는 heating 장치에 유입되어 기화된다.

#### 4. 결과 및 고찰

그림2에  $\text{CCl}_4/\text{C}_3\text{H}_8$  주입비율인 R이 0.6일 때 소각기내의  $\text{C}_3\text{H}_8$ 의 농도를 나타내었다. 소각기 중앙 단면(그림1의 C-C'), 보조연료가 공급되는 지점(그림1의 A-A')과 폐기물이 주입되는 지점(그림1의 B-B')을 각각 나타낸다. 보조연료 주입구의  $\text{C}_3\text{H}_8$ 의 농도는 연소에 의하여 보조연료가 소비되기 때문에 화염 하향류쪽으로 갈수록 농도가 급속히 감소된다. 폐기물 주입지점은 보조연료 주입구 주입과는 달리  $\text{CCl}_4$ 의 화염억제 작용으로 연소 반응이 저연되어 소각기 하단부분까지도 고농도를 나타낸다.

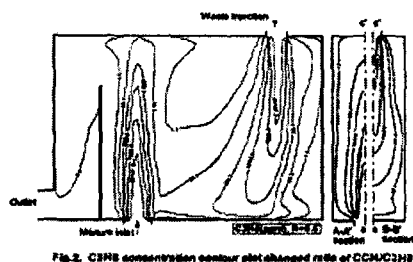


Fig.2.  $\text{C}_3\text{H}_8$  concentration contour plot changed rate of  $\text{CCl}_4/\text{C}_3\text{H}_8$ .

그림3에  $\text{CCl}_4/\text{C}_3\text{H}_8$  주입비율인 R이 0.6일 때 소각기내의  $\text{CCl}_4$ 농도를 나타내었다. 대부분의  $\text{CCl}_4$ 가 폐기물 주입구 하단부로 가면서  $\text{C}_3\text{H}_8$ 과 반응하여 급격히 감소함을 알 수 있다. 소각기 하단부에서 분해되지 못한  $\text{CCl}_4$ 는 재순환영역으로 유입되어 대부분 분해된다. 재순환영역에서도 분해되지 못한  $\text{CCl}_4$ 는 배기구로 배출되면서 보조연료 주입구에서 유입된  $\text{C}_3\text{H}_8$ 과 재반응하여 완전 분해된다. 보조연료 주입구쪽의 농도를 보면 소각기 하단에서 농도가 높고 상단쪽으로 갈수록 농도가 낮아지는데 이는 폐기물 주입구에서 분해되지 못한  $\text{CCl}_4$ 가 일부 유입되기 때문이다. 폐기물주입구의 농도는 폐기물 주입위치에서 가장 고농도를 나타내며 소각기 하단으로 갈수록  $\text{C}_3\text{H}_8$ 과 반응하여 농도가 급격하게 감소함을 알 수 있다.

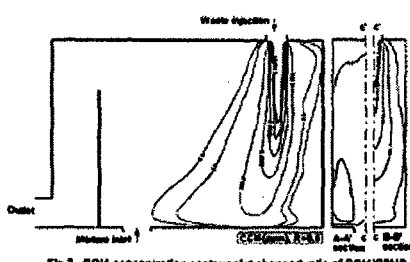


Fig.3.  $\text{CCl}_4$  concentration contour plot changed rate of  $\text{CCl}_4/\text{C}_3\text{H}_8$ .

#### 참고문헌

- Elizabeth M.Fisher and Catherine P. Koshland (1990) Numerical Simulation of the Thermal Destruction of Some Chlorinated Cl and C2 Hydrocarbons, J. Air Waste Manage. Assoc, 40, 1384-1390.
- Patanker, S.V.(1980) Numerical Heat Transfer and Fluid Flow, Hemisphere Publishing Corporation, New York.